

Ю.Ф. Терновий, Ю.В. Мельников (Україна). – № 2003044007; Заявл. 30.04.2003; Опубл. 16.02.2004, Бюл. № 2. – 5 с.; ил.

10. Мельников Ю.В. Технико-экономические показатели ковки в четырехбойковом ковочном устройстве // Вісник Східноукраїнського національного університету імені Володимира Даля. – 2006. – № 6. – С. 55-57.

11. Лазоркин В.А., Терновой Ю.Ф., Артамонов Ю.В. Четырехбойковое ковочное устройство для гидравлических ковочных прессов // Кузнечно-штамповочное производство. – 2000 – № 8. – С. 43-44.

12. Лазоркин В.А., Яценко Р.В., Мельников Ю.В. Качество поковок, изготавляемых радиальной ковкой на гидравлическом ковочном прессе // Кузнечно-штамповочное производство. – 2005. – № 5. – С. 8-11.

13. Тюрин В.А. Инновационные технологии ковки с применением макросдвигов / В.А. Тюрин // Кузнечно-штамповочное производство. – 2007. – № 11. – С. 15-20.

14. Исследование радиального обжатия слитков и заготовок из быстрорежущих сталей / В.А. Лазоркин, В.А. Тюрин, И.А. Поступов, Ю.Г. Залужный // Кузнечно-штамповочное производство. – 1987. – № 6. – С. 7-9.

15. А.с. 1505654 СССР, МКИ В 21 J 5/00 J 13/02. Инструмент для ковки / Б.П. Грохольский, А.В. Ширяев, Н.М. Наумова (СССР) – № 4152006/25-27; Заявл. 26.11.86; Опубл. 07.09.89, Бюл. № 3. – 4с.; ил.

16. А.с. 339089 СССР, МКИ В 21 J 13/02. Устройство ковки заготовки / В.А. Тюрин, Я.М. Охрименко (СССР). – № 1666179/25-27; Заявл. 17.06.71; Опубл. 30.03.79, Бюл. № 12. – 2с.; ил.

17. А.с. 264132 СССР, МКИ В 21 J 13/02. Кузнечный вырезной боек / Тюрин В.А., Охрименко Я.М., Барсуков В.П. (СССР) – № 1292561/25-27; Заявл. 27.12.68; Опубл. 19.11.70, Бюл. № 8. – 4с.; ил.

18. Марков О.Е. Удосконалення ресурсозберігаючих технологічних процесів кування плит: Автореф. дис. ... к-та техн. наук: 05.03.05 / Донбаська державна машинобудівна академія. – Краматорськ, 2003. – 19 с.

19. А.с. 590098 СССР, МКИ В 21J 1/04. Способ ковки заготовки / В.А. Тюрин, С.А. Балуев, А.Ф. Железнов (СССР). – № 2407702/25-27; Заявл. 6.09.76; Опубл 30.01.78, Бюл. № 4. – 4с.; ил.

20. Пат. 2252834 Российская Федерация, МКИ В 21 J 1/04. Способ ковки заготовок плоскими бойками / В.А. Тюрин, В.В. Овечкин, Копп Райнер (Германия), Зигльмайер Оливер (Германия). – № 2003119866/02; Заявл. 3.07.03; Опубл 27.05.05. – 7с.; ил.

Надійшла 09.01.2009 р.

УДК 692.231.2: 699: 86

Г.С. РАТУШНЯК, К.В. АНОХІНА  
Вінницький національний технічний університет

## БАГАТОШАРОВІ ЗАХИСНІ КОНСТРУКЦІЇ ВІД ТЕПЛОВТРАТ З ГЕРМЕТИЧНИМ ПОВІТРЯНИМ ПРОШАРКОМ

Запропоновано багатошарові конструкції з герметичним повітряним прошарком та із застосуванням тепловідбиваючих екранів як ефективні та перспективні енергозберігаючі технології. За результатами числових експериментів визначено термічні опори теплоізоляційних матеріалів залежно від їх товщини.

*There are suggested the multi-layer constructions with the hermetic air stratum and by applying the thermo-reflecting shields as effective and power-saving technologies. On the numerical experiments results there have been determined the thermal resistances of the thermo-isolating materials, depending upon their thickness.*

### Вступ

Україна тільки на 43 % може забезпечити потреби в паливі за рахунок своїх національних ресурсів. Питома вага затрат енергії на одиницю національного прибутку перевищує європейський рівень вдвічі [1, 2]. Єдиний шлях стабілізувати стан енергоспоживання в Україні – це енергозбереження до 43...47 % всього енергоспоживання за рахунок використання нетрадиційних джерел енергії, до яких відноситься біоконверсія органічних речовин з метою отримання біогазу. Використання теплоізоляційних матеріалів є необхідним заходом в комунально-побутовому секторі, системах інженерного забезпечення будинків, а також для підтримання температурного режиму, уникнення температурних перепадів та зменшення витрат енергоресурсів в біогазових установках.

### Постановка задачі дослідження

Температурний режим суттєво впливає на якість технологічного процесу та продуктивність біогазової установки, оскільки коливання температур в межах 4...5 °C різко змінюють мікробіологічну активність анаеробних організмів [3]. Особливістю процесу в біогазових реакторах є те, що за рахунок недостатнього та нерівномірного прогрівання суміші коливання температур в об'ємі субстрату стають значними, що не відповідає технологічним вимогам. Це зменшує вихід біогазу порівняно з теоретичним [4].

Розв'язання задач термостабілізації біогазових реакторів можливе за рахунок підвищення термічного опору матеріалу захисних конструкцій. Завдяки теплоізоляції зменшуються перепади температури і втрати теплоти в внутрішньому та зовнішньому середовищами біогазової установки [5].

З метою підвищення термічних опорів конструкцій, зниження маси і вартості їх найчастіше використовують з повітряними прошарками. Влаштування повітряного прошарку є розповсюдженим прийомом теплоізоляції, тому що коефіцієнт тепlopровідності повітря має досить низьке значення (при  $t = 0^\circ \text{C}$ ,  $\lambda_b = 0,023 \text{ Вт}/(\text{м}^2 \cdot \text{град})$ ) [6]. Використання повітряного прошарку дозволяє підвищити термічний опір в  $1,4\dots1,8$  рази. Повітря, що знаходиться у прошарку буде виступати як додатковий теплоізолятор [4].

Найбільш ефективним методом збільшення термічного опору конструкції з повітряним прошарком є покривання. Один екран з алюмінієвої фольги зменшує тепловий потік у 20 разів. Зі збільшенням числа цих ефект зростає. На цьому принципі заснована теплоізоляція „альфоль”, виконана у вигляді аркушів фольги на відстані 10…15 мм один від одного, чи у вигляді м'яких гофрованих листів. Умовний коефіцієнт тепlopровідності такого теплоізоляційного шару при гладеньких аркушах  $\lambda_b = 0,031 \text{ Вт}/(\text{м}^2 \cdot \text{град})$ , при гофрованих  $- 0,028 \text{ Вт}/(\text{м}^2 \cdot \text{град})$  [6, 7].

В зв'язку з цим при впровадженні енергозберігаючих технологій актуальною задачею є розроблення багатошарових конструкцій з герметичним повітряним прошарком та із застосуванням тепловідбиваючих матеріалів, а також дослідження їх термічних опорів.

### Результати досліджень

Запропоновано теплоізоляційну панель [8], що складається з каркасу та секцій, заповнених наповнювачем. В якості секцій використані пластикові пляшки з відрізаним дном, які герметично закріплені вертикально встановлених на каркасі дротах. Як наповнювач використовують сухе повітря, а каркас розміщений в захисному повітронепроникливому корпусі. Загальну схему запропонованої конструкції теплоізоляційної панелі представлена на рис. 1.

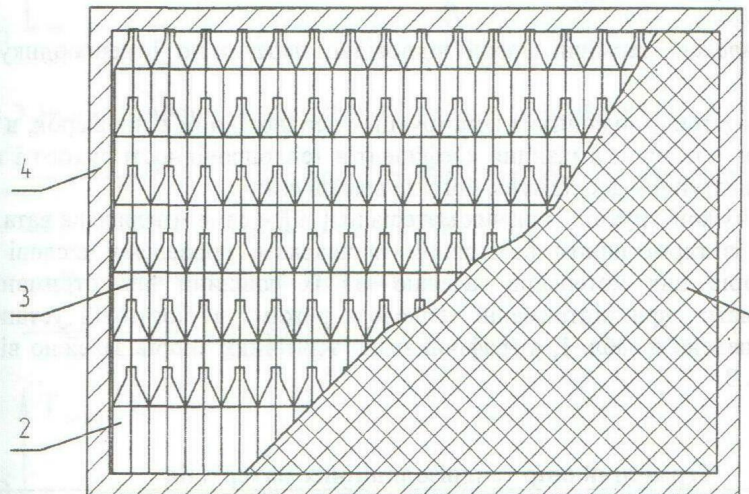


Рис. 1. Теплоізоляційна панель: 1 – каркас; 2 – пластикові пляшки з відрізаним дном; 3 – дріт; 4 – захисний повітронепроникливий корпус

Багатошарова захисна конструкція від тепловтрат з герметичним повітряним прошарком підвищує термічний опір конструкції. Сухе повітря, яке знаходиться в пластикових пляшках 2, що розміщені в каркасі 1, має дужкий коефіцієнт тепlopровідності ( $\lambda_b = 0,023 \text{ Вт}/(\text{м}^2 \cdot \text{град})$ ), завдяки чому значно знижується тепловий обмін між біогазовою установкою або приміщенням та навколишнім середовищем. Оскільки пластикові пляшки 2 з відрізаним дном з'єднані між собою у пакети герметично, то це перешкоджає викиненню водяної пари до наповнювача – сухого повітря. Захисний корпус 4 перешкоджає прямому контакту теплоізоляційної панелі із матеріалом захисної конструкції, а також надає панелі більшої міцності і стійкості.

Запропоновано також теплогідроізоляційну багатошарову конструкцію, в якій за рахунок введення теплоізоляційної панелі та алюмінієвої фольги, зменшуються тепловтрати в навколишнє середовище [9]. Теплогідроізоляційна багатошарова конструкція містить утеплюючий шар, що включає гідроізоляційний металеву сітку та шар пароізоляції, а також додатковий шар теплоізоляції, в якості якого використовується алюмінієва фольга. Поверх цього розташовано шар пластикових пляшок із сухим повітрям, а зверху встановлено захисний матеріал від механічних пошкоджень.

Загальну схему запропонованої теплогідроізоляційної багатошарової конструкції представлена на рис. 2. Теплогідроізоляційну багатошарову конструкцію виконано наступним чином. Гідроізолюючі шари захищають від проникнення водогін в приміщення або до корпуса біогазової установки. Поверх шарів 1 та 2 встановлено алюмінієву фольгу 3, що слугує для відбивання довгохвильового тепла та погрішення умов проникнення. На алюмінієву фольгу встановлено теплоізоляційну панель із пластикових пляшок 4, яка

перешкоджає проникненню вологи. Це приводить до зниження теплообміну між біогазовою установкою чи приміщенням та навколоїнім середовищем. Металева сітка 5, що розташована поверх теплоізоляційної панелі, підвищує механічну міцність. Над сіткою 5 укладено захисний матеріал від механічних пошкоджень 6, який захищає від зовнішніх механічних пошкоджень та утеплює конструкцію.

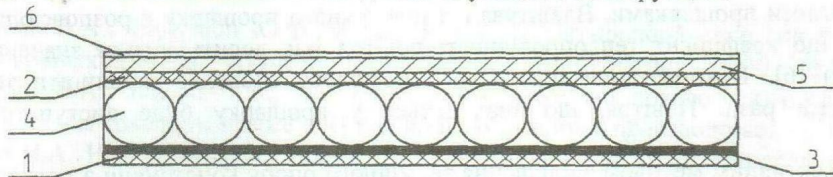


Рис. 2. Теплогідроізоляційна багатошарова конструкція: 1,2 – гідроізоляючі шари; 3 – алюмінієва фольга; 4 – теплоізоляційна панель із пластикових пляшок з сухим повітрям; 5 – металева сітка; 6 – захисний матеріал від механічних пошкоджень

Термічний огір конструкції, що складається з кількох шарів матеріалу, розташованих перпендикулярно напрямку теплового потоку, визначається згідно з формулою [6]:

$$R_{\text{общ}} = \sum R_i, \quad (1)$$

де  $R_i$  – термічний опір теплопередачі для окремого шару, що обчислюється за формулою [6]:

$$R_i = \frac{\delta_i}{\lambda_i}, \quad (2)$$

де  $\delta_i$  і  $\lambda_i$  – товщина шарів захисної конструкції і теплопровідність їх матеріалів.

Запропоновані теплоізоляційна панель і теплогідроізоляційна багатошарова конструкція вважаються неоднорідними. Приведений термічний опір таких конструкцій визначається за формулою:

$$R_o = \frac{R_{\uparrow\uparrow} + 2R_{\perp}}{R}, \quad (3)$$

де  $R_{\uparrow\uparrow}$  та  $R_{\perp}$  – приведені термічні опори відповідно паралельно і перпендикулярно напрямку теплового потоку.

Оскільки в наведених теплоізоляційних конструкціях неоднорідним є прошарок, в якому розміщені пластикові пляшки із сухим повітрям, а різниця коефіцієнтів теплопровідності сухого і вологого повітря незначна, то при проведенні наступних досліджень, його не враховують.

Для теплоізоляційних конструкцій із різних матеріалів [10], а саме мінеральна вата, пінополістирол, багатошарова конструкція із герметичним повітряним прошарком, проведено числові експерименти з визначення термічних опорів цих матеріалів залежно від їх товщини для отримання оптимальних теплоізоляційних характеристик при підтриманні теплового режиму в біогазовій установці. Результати числових експериментів наведено в табл. 1, а графічні зміни термічних опорів залежно від товщини шару матеріалу зображені на рис. 3.

Таблиця 1

Термічний опір теплоізоляційних матеріалів

Товщина матеріалу, м	Термічний опір $R$ , ( $\text{м}^2 \cdot \text{град}$ )/Вт			
	Мінеральна вата, $\lambda=0,050$ Вт/( $\text{м}^2 \cdot \text{град}$ )	Пінополістирол, $\lambda=0,038$ Вт/( $\text{м}^2 \cdot \text{град}$ )	Теплоізоляційна панель із пластикових пляшок з сухим повітрям, $\lambda=0,024$ Вт/( $\text{м}^2 \cdot \text{град}$ )	Теплогідроізоляційна багатошарова конструкція, $\lambda=0,026$ Вт/( $\text{м}^2 \cdot \text{град}$ )
0,05	1,0	1,3	2,1	1,9
0,10	2,0	2,6	4,2	3,8
0,15	3,0	3,9	6,3	5,7
0,20	4,0	5,2	8,4	7,6
0,25	5,0	6,5	10,5	9,5

В запропонованих багатошарових конструкціях (рис. 1, 2) зменшенню тепловтрат сприяють герметичні повітряні прошарки. В цих повітряних прошарках передача тепла здійснюється теплопровідністю, конвекцією та випроміненням [11]. Сумарних ефект теплопровідності повітря і конвективного перенесення оцінюється умовним коефіцієнтом тепlopереходу конвекцією  $\alpha_{T,K}$ , який для вертикальних повітряних прошарків при температурі 0°C визначається за формулою:

$$\alpha_{T,K} = 2,7 \left( \frac{\Delta T}{\delta} \right)^{0,25}, \quad (4)$$

де  $\Delta\tau$  – різниця температур на поверхнях прошарку.

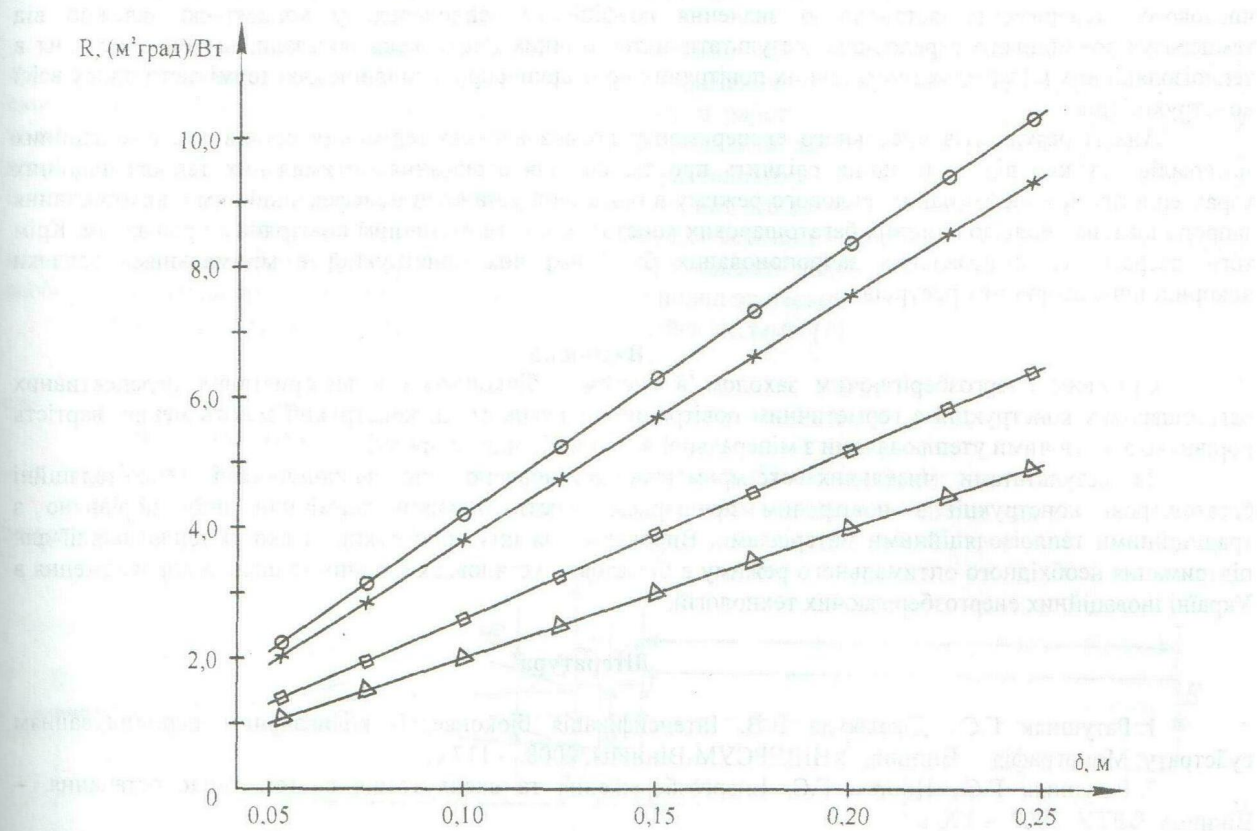


Рис. 3 Зміни термічних опорів теплоізоляційних матеріалів в залежності від їх товщини:

- теплогідроізоляційна багатошарова конструкція
- ×— теплоізоляційна панель
- пінополістирол
- △— мінеральна вата

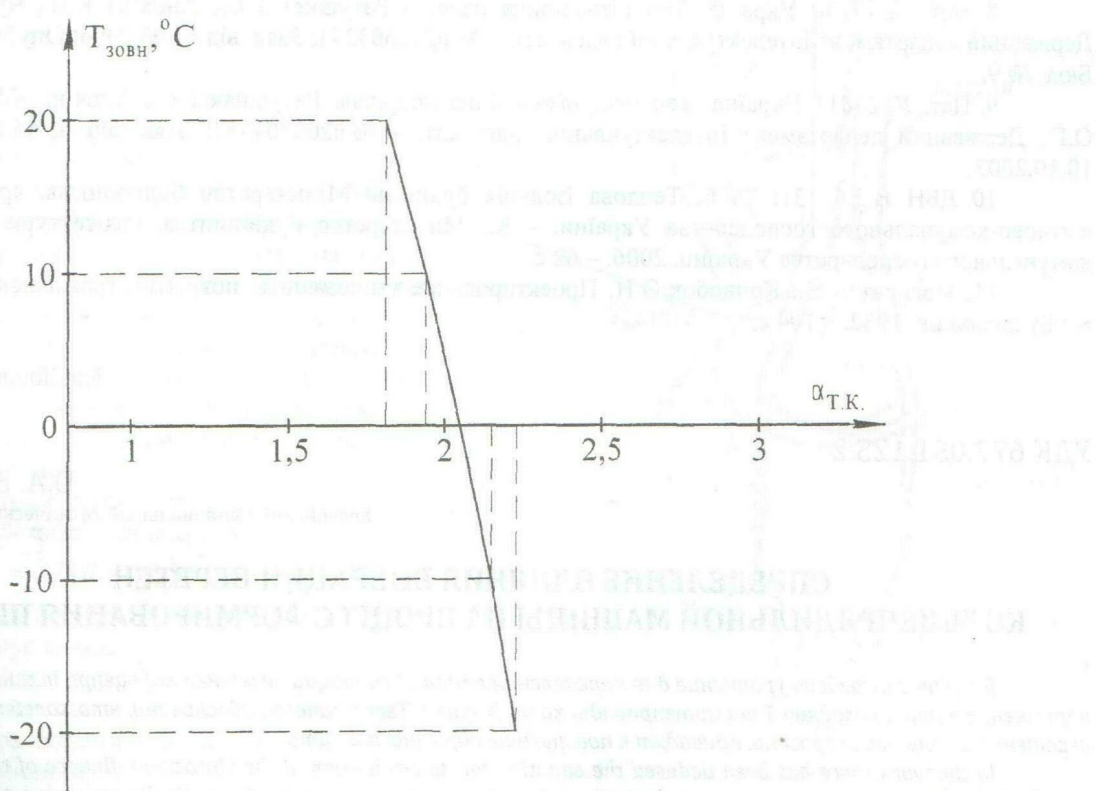


Рис. 4 Графічне зображення залежності коефіцієнта тепlopераходу конвекцією від температур зовнішнього середовища

Для герметичних повітряних прошарків теплоізоляційних конструкцій (рис. 1, 2) за результатами числового експерименту встановлено значення коефіцієнту тепlopереходу конвекцією залежно від температур зовнішнього середовища. Результати математичних досліджень показали, що використання в теплоізоляційних матеріалах герметичних повітряних прошарків сприяє підвищенню термічного опору всієї конструкції (рис. 4).

Аналіз результатів чисельного експерименту по визначення термічних опорів теплоізоляційних матеріалів залежно від їх товщини свідчить про те, що для отримання оптимальних теплоізоляційних характеристик при підтриманні теплового режиму в біогазовій установці найефективнішим є використання запропонованих теплоізоляційних багатошарових конструкцій із герметичним повітряним прошарком. Крім того, затрати на виготовлення запропонованих багатошарових конструкцій є мінімальними завдяки використанню вторинних ресурсів.

### Висновки

Суттєвим енергозберігаючим заходом в системах біоконверсії є використання перспективних багатошарових конструкцій з герметичним повітряним прошарком. Ці конструкції мають меншу вартість порівняно з існуючими утеплювачами з мінеральної вати чи пінополістиролу.

За результатами чисельних експериментів встановлено, що запропоновані теплоізоляційні багатошарові конструкції з повітряним прошарком мають більший термічний опір порівняно з традиційними теплоізоляційними матеріалами. Впровадження цих конструкцій в якості теплоізоляції для підтримання необхідного оптимального режиму в біогазових установках є одним із шляхів впровадження в Україні іноваційних енергозберігаючих технологій.

### Література

1. Ратушняк Г.С., Джеджула В.В. Інтенсифікація біоконверсії коливальним перемішуванням субстрату: Монографія. – Вінниця: УНІВЕРСУМ-Вінниця, 2008. – 117 с.
2. Ратушняк Г.С., Попова Г.С. Енергозбереження та експлуатація систем теплопостачання. – Вінниця: ВДТУ, 2002. – 120 с.
3. Ткаченко С.Й., Резидент Н.В., Ларюшкін Є.П. Експериментальне дослідження інтенсивності тепловіддачі до багатокомпонентних органічних сумішей // Вісник ВПІ. – 2006. – № 1. – С. 35-44.
4. Ратушняк Г.С., Джеджула В.В. Інтенсифікація теплообміну та термостабілізація біореакторів // Вісник ВПІ. – 2006. – № 2. – С. 26-31.
5. Тихомиров К.В., Сергеенко Э.С. Теплотехника, теплогазоснабжение и вентиляция: Учеб. для вузов. – 4-е изд., перераб. и доп. – М.: Стройиздат, 1991. – 480 с.
6. Ратушняк Г.С. Будівельна теплофізика/ Г.С.Ратушняк, Г.С.Попова. – Вінниця: ВНГУ, 2004. – 119 с.
7. Ратушняк Г.С., Ратушняк О.Г. Управління проектами енергозбереження шляхом термореновациї будівель. – Вінниця: ВНТУ, 2006. – 106 с.
8. Пат. № 17230 Україна. Теплоізоляційна панель/ Ратушняк Г.С., Анохіна К.В., Чухряєва О.Г., Державний департамент інтелектуальної власності. – № u200603243; Заяв. від 27.03.2006; Опубл. 15.09.2006. Бюл. № 9.
9. Пат. № 26811 Україна. Теплогідроізоляційна покрівля/ Ратушняк Г.С., Анохіна К.В., Ратушняк О.Г., Державний департамент інтелектуальної власності. – № u200704953; Заяв. від 03.05.2007; Опубл. 10.10.2007.
10. ДБН В.2.6- 31: 2006. Теплова ізоляція будівель/ Міністерство будівництва, архітектури та житлово-комунального господарства України. – К.: Міністерство будівництва, архітектури та житлово-комунального господарства України, 2006. – 62 с.
11. Могилат А.Н., Кривобок Э.Н. Проектирование теплозащиты покрытий гражданских зданий. – К.: Будівельник, 1982. – 104 с.

Надійшла 3.12.2008 р.

УДК 677.051.125.2

О.А. ВОЙТОВИЧ

Херсонський національний технічний університет

## ОПРЕДЕЛЕНИЕ ВЛИЯНИЯ ВIBРАЦИИ ВЕРЕТЕН КОЛЬЦЕПРЯДИЛЬНОЙ МАШИНЫ НА ПРОЦЕСС ФОРМИРОВАНИЯ ПРЯЖИ

В работе выведено уравнение для определения влияния вибрации веретена кольцепрядильной машины на натяжение нити, проходящей от нитепроводника до бегунка. Теоретически обосновано, что колебания шпинделя веретена на больших скоростях приводят к повышению обрывности нити.

In the work there has been deduced the equation for determination of the vibration influence of the ring spinner spindle over the thread tension, running from thread-conductor to the traveler. Theoretically grounded, that the spindle